

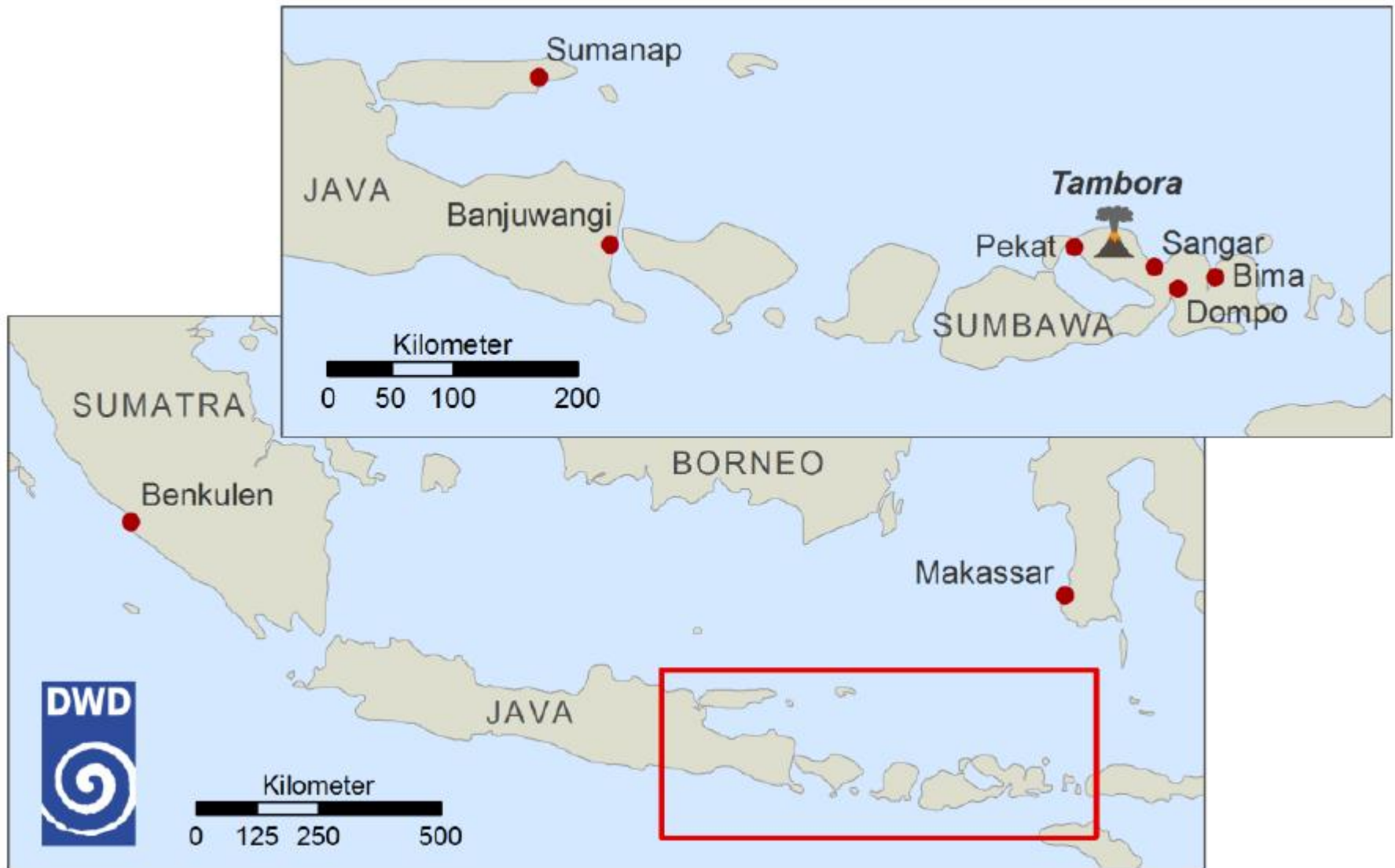
**Klima und Geschichte:  
Der Ausbruch des Tambora 1815  
und das Jahr ohne Sommer 1816**

Stephan Matthiesen

[www.klima-und-geschichte.de](http://www.klima-und-geschichte.de)

Naturhistorische Gesellschaft (NHG)  
Nürnberg, 15 Oktober 2018

# Vulkan Tambora



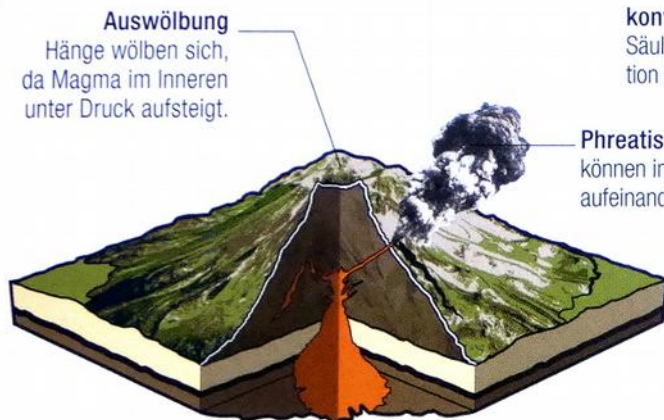
Haeseler, Der Ausbruch des Vulkans Tambora in Indonesien im Jahr 1815 und seine weltweiten Folgen, insbesondere das ‚Jahr ohne Sommer‘ 1816“. Deutscher Wetterdienst, 27. Juli 2016.

# Plinianische Ausbrüche

PLINIANISCHE ERUPTIONEN

## ENTWICKLUNG DES AUSBRUCHS

Kennzeichen plinianischer Eruptionen sind Gas- und Aschesäulen, die bis hoch in die Stratosphäre reichen. In mächtigen Explosionen wird fragmentierte Magma durch sich ausdehnendes Gas ausgesprengt und es werden große Mengen an Bims (erstarrtes, schaumiges Magma) ausgeworfen. Kurze Ausbrüche können weniger als einen Tag, längere Wochen dauern.



**1 VORBOTEN DES AUSBRUCHS**  
Aufsteigendes Magma und Druckanstieg im Vulkan können zu Bodenverformungen, lauten Gas- oder Dampfausstößen oder kleinen Aschewolken führen.

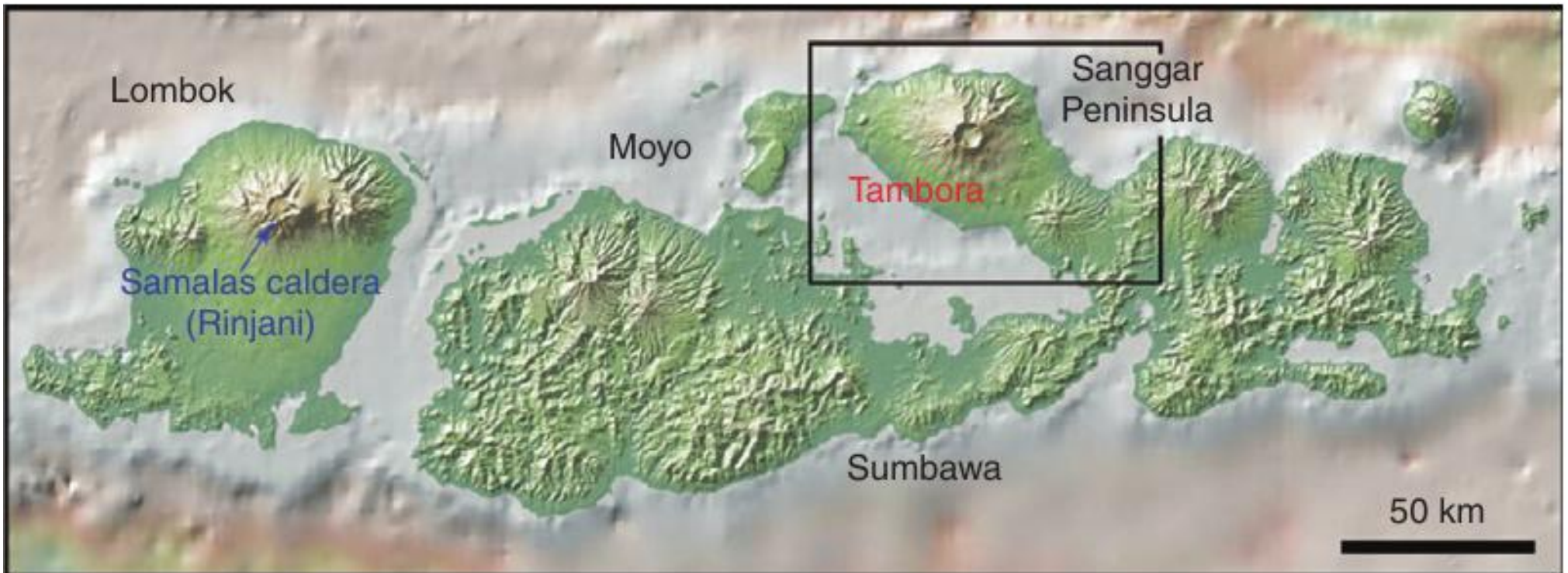
**2 HAUPTAUSBRUCHSPHASE**  
Die explosive Eruption beginnt mit der Aussprengung großer Magmamengen, oft mit lauten Detonationen. Asche und Bims werden seitwärts verweht.

**3 ASCHEREGEN**  
Während sich die Eruption mit verringerter Kraft fortsetzt, verdriftet der Wind die Asche über Hunderte von Kilometern, sodass sie über große Flächen fällt.

# Pyroklastischer Strom



Mayon, Philippinen



Raible et al., Tambora 1815 as a Test Case for High Impact Volcanic Eruptions: Earth System Effects. *Wiley Interdisciplinary Reviews: Climate Change* 7, Nr. 4 (1. Juli 2016): 569–89.



ISS Astronaut photograph ISS020-E-6563; 3. Juni 2009

# Heinrich Zollinger

## Reise 1847



- Schätzung der Todeszahlen:
  - 10.000 direkt bei der Eruption
  - 38.000 auf Sumbawa durch Hunger
  - 10.000 auf Lombok durch Asche und Hunger
- meist werden heute 71.000 angenommen

# Ascheregen

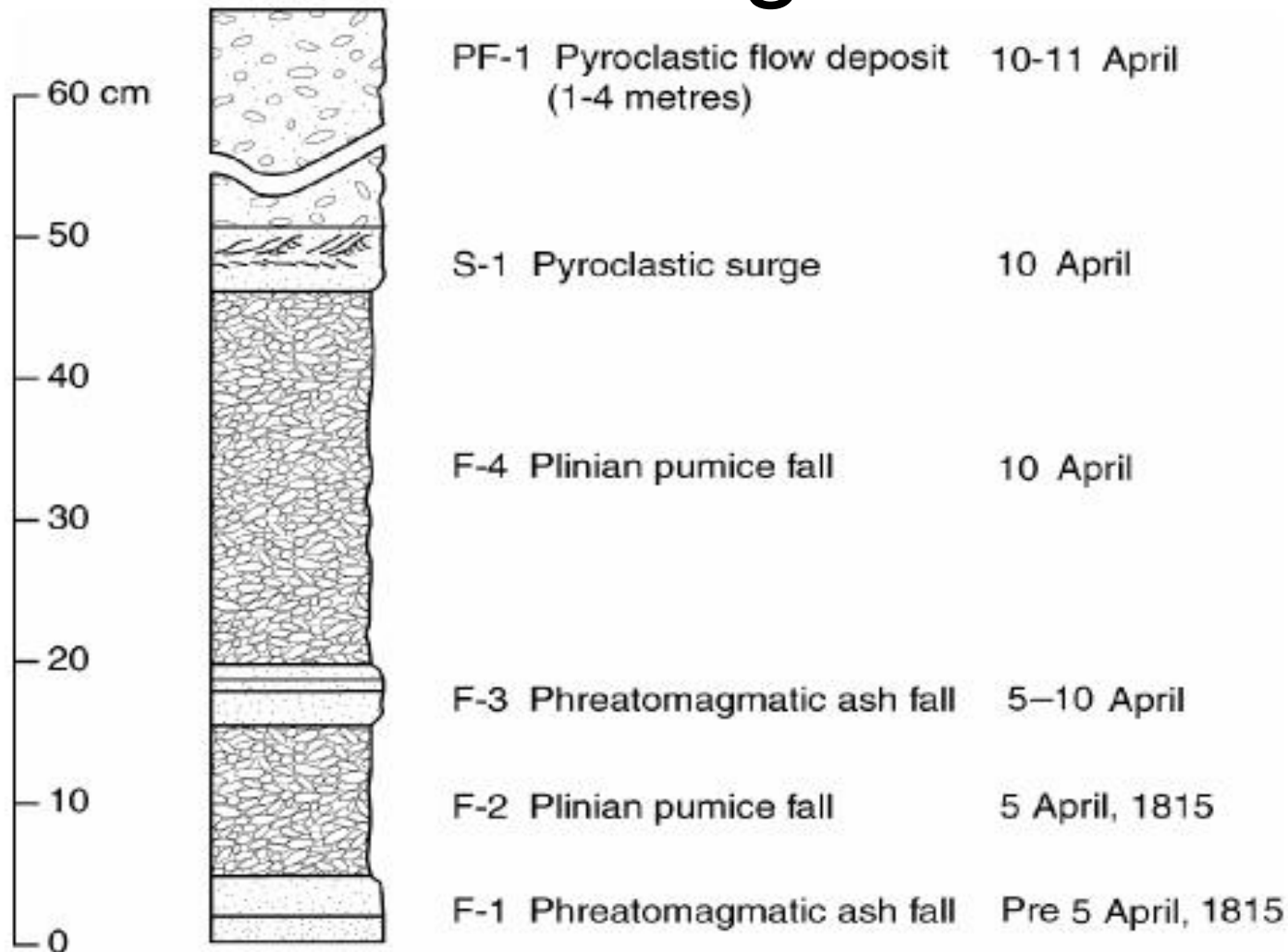
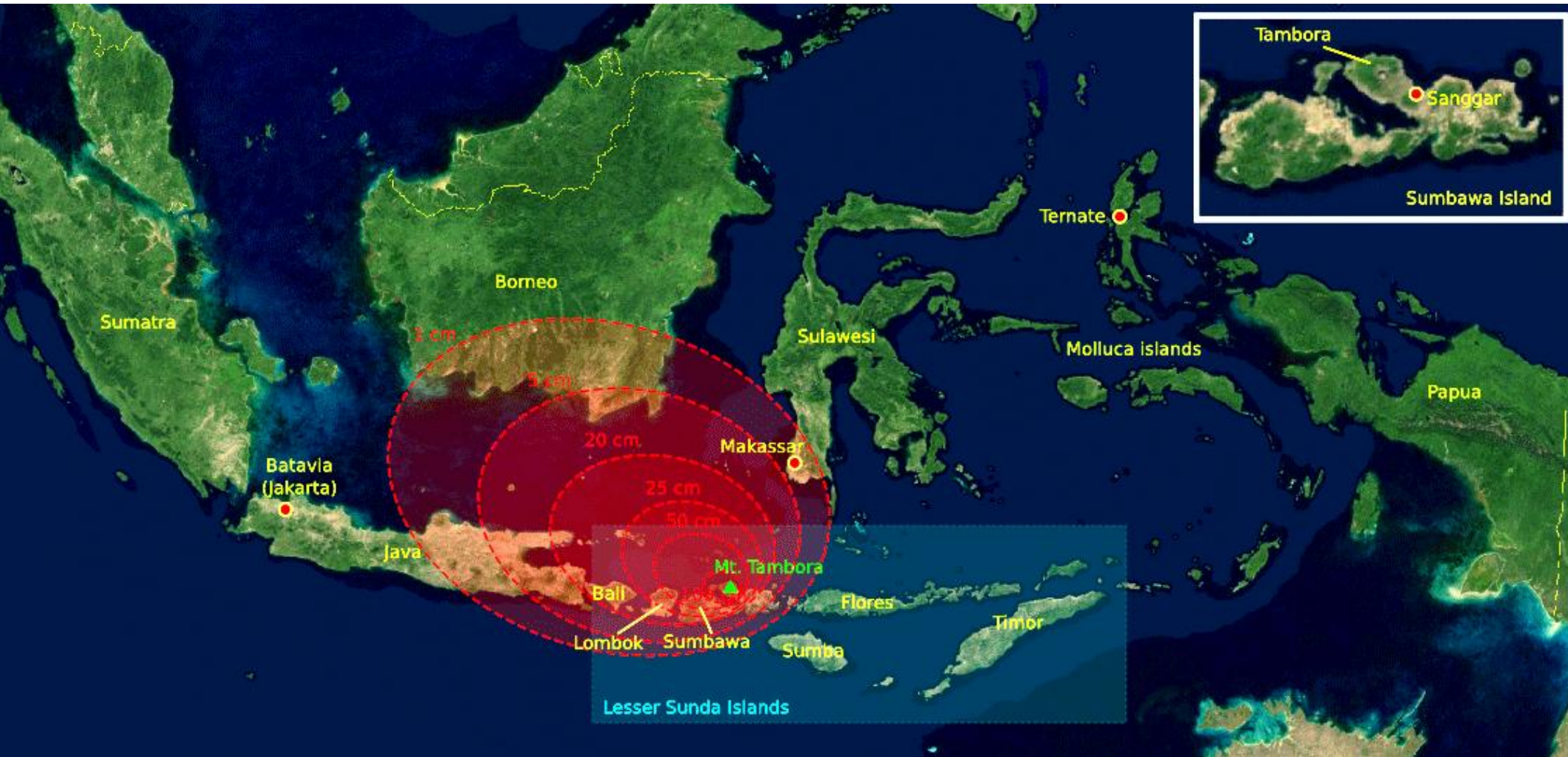


Figure 2 Stratigraphy of tephra deposits from the Tambora eruption logged at Gambah, 25 km from the summit

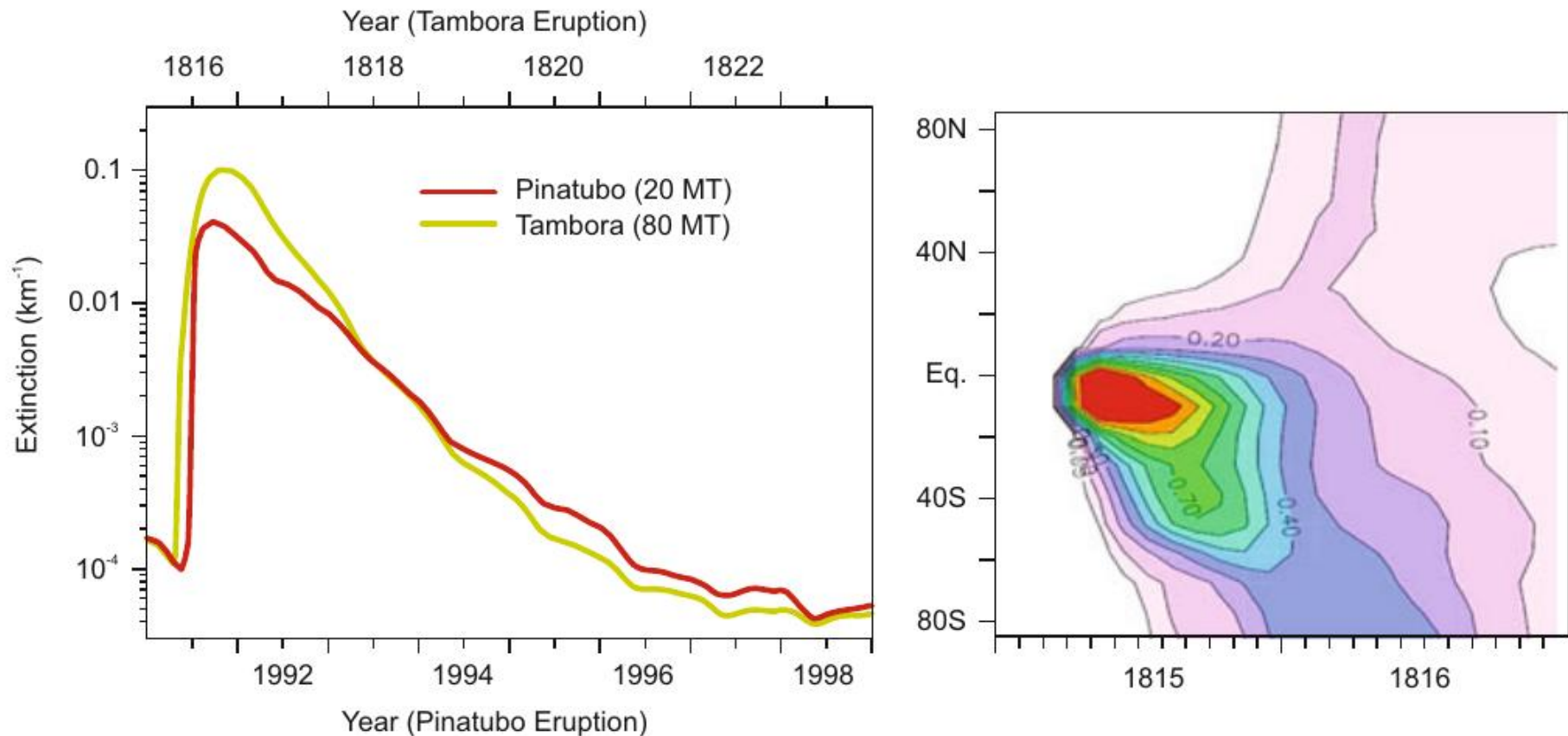
Oppenheimer, Clive. „Climatic, Environmental and Human Consequences of the Largest Known Historic Eruption: Tambora Volcano (Indonesia) 1815“. Progress in Physical Geography: Earth and Environment 27, Nr. 2 (1. Juni 2003): 230–59.



# Ascheregen



# Staubschleier

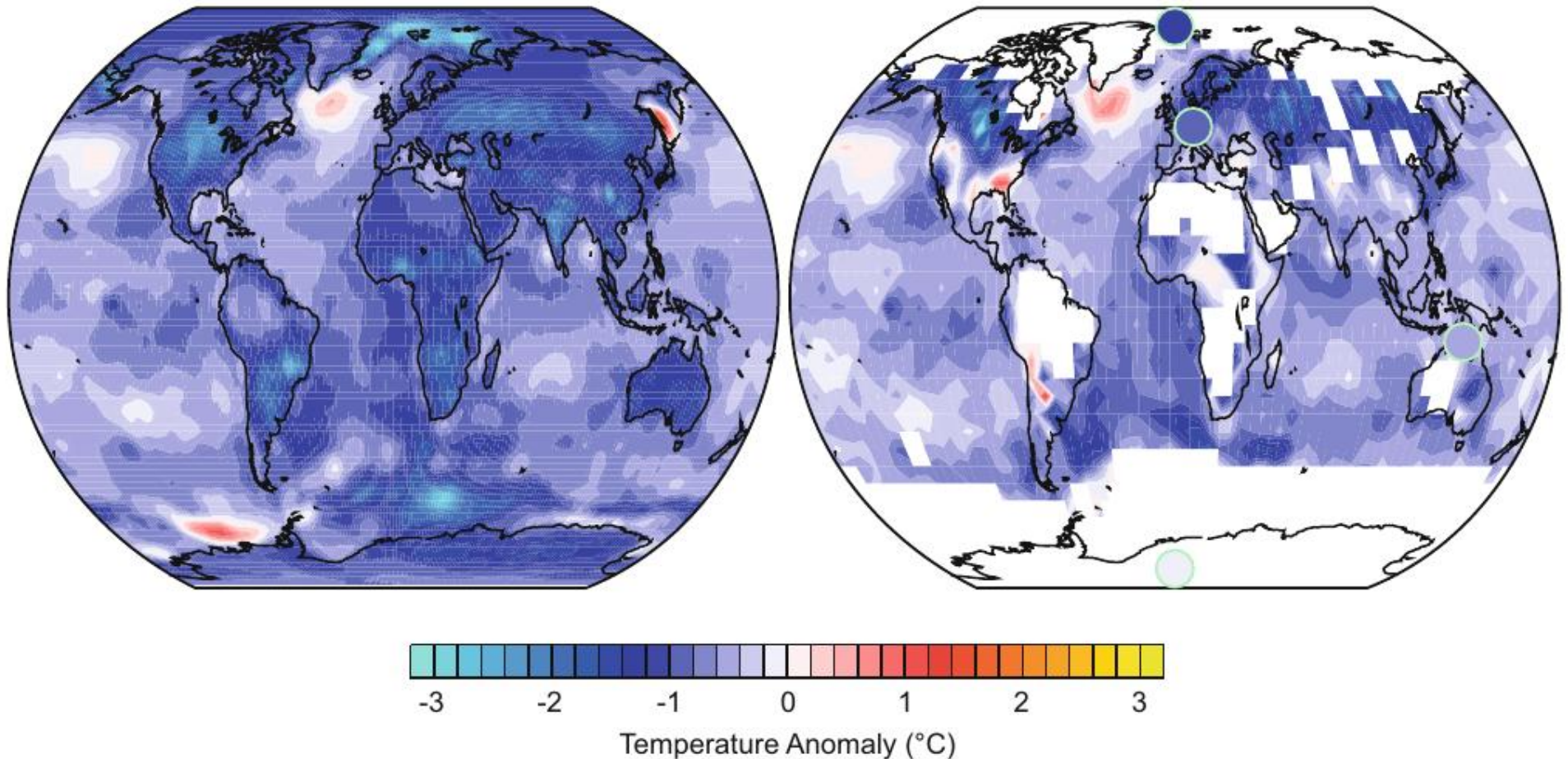


**Fig. 4.28** (left) Aerosol extinction ( $1.02 \mu\text{m}$ ) at 20-km altitude above the equator for the Tambora and Pinatubo eruptions. (right) Aerosol optical depth (500 nm) modelled for the Tambora eruption. These are obtained from a two-dimensional aerosols microphysics model, assuming a sulphur amount of 80 and 20 Mt for Tambora and Pinatubo, respectively (See Arfeuille et al. (2014) for details)



Abendstimmung in Wales 1838 von William Turner

# Kleine Eiszeit



**Fig. 4.15** Global map of the annual mean temperature difference in 1700–1890 relative to 1985–2005 in the (*left*) CCC400 simulations and (*right*) reconstructions (Mann et al. 2009b). The *dots* indicate temperature anomalies from the PAGES 2k reconstructions (Fig. 4.5; only shown if they reach at least to 2001)

# Meteorologie in Genf um 1800



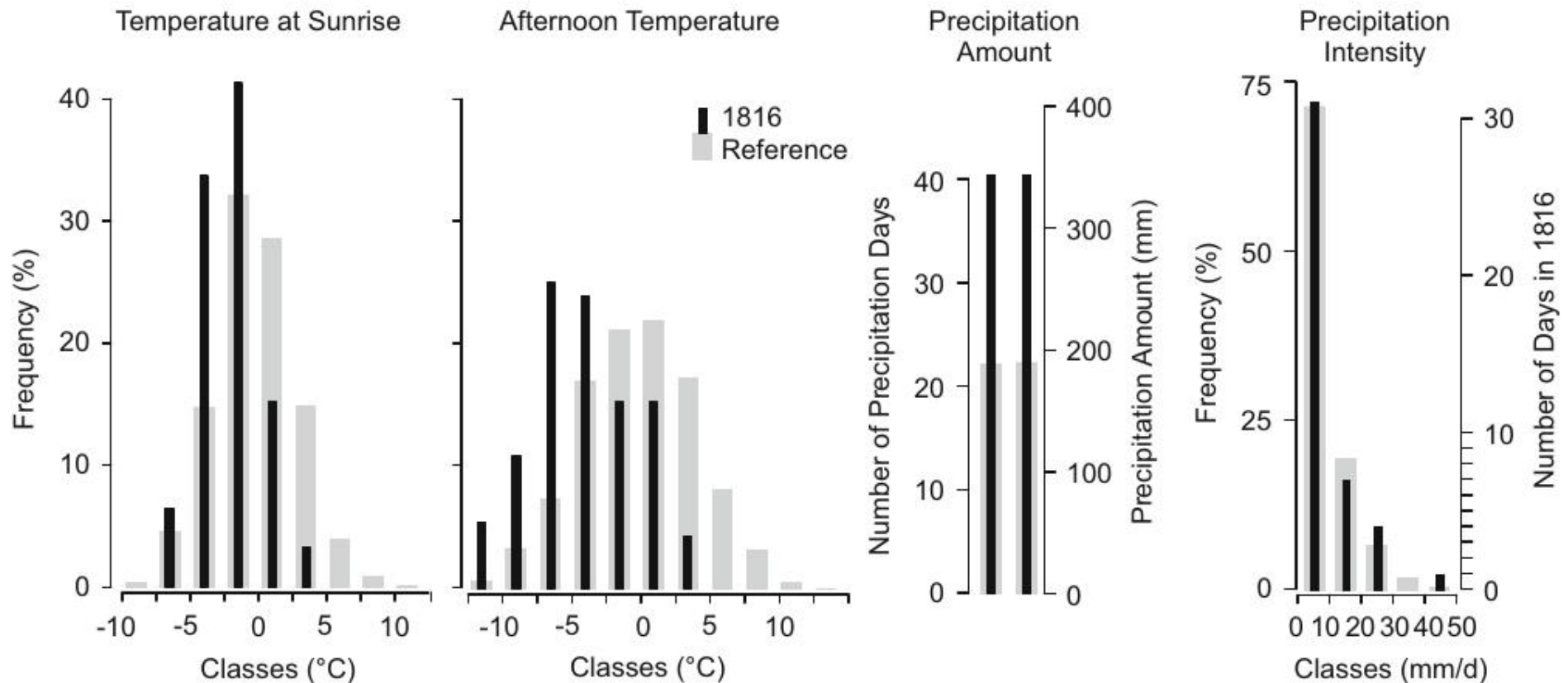
Saussure, from a picture by Juehl.

Horace-Bénédict de Saussure  
1740-1799



Marc-Auguste Pictet  
1752-1825

# Marc-Auguste Pictet Wettermessungen 1799-1821



**Fig. 4.25** Statistics of daily weather from Geneva from June to August 1816 relative to the reference period 1799–1821. (*left*) and (*second from left*) Histograms of temperature anomalies (with respect to the 1799–1821 mean seasonal cycle) at sunrise and 2 p.m. local time (*second from right*) Precipitation amount and frequency, and (*right*) intensity (precipitation on days with >0.1 mm of precipitation) (Auchmann et al. [2012](#))

# Mary Shelley



# Temperaturen und Niederschläge Rekonstruktionen

Mitteleuropa  
Sommer  
(Jun-Aug)

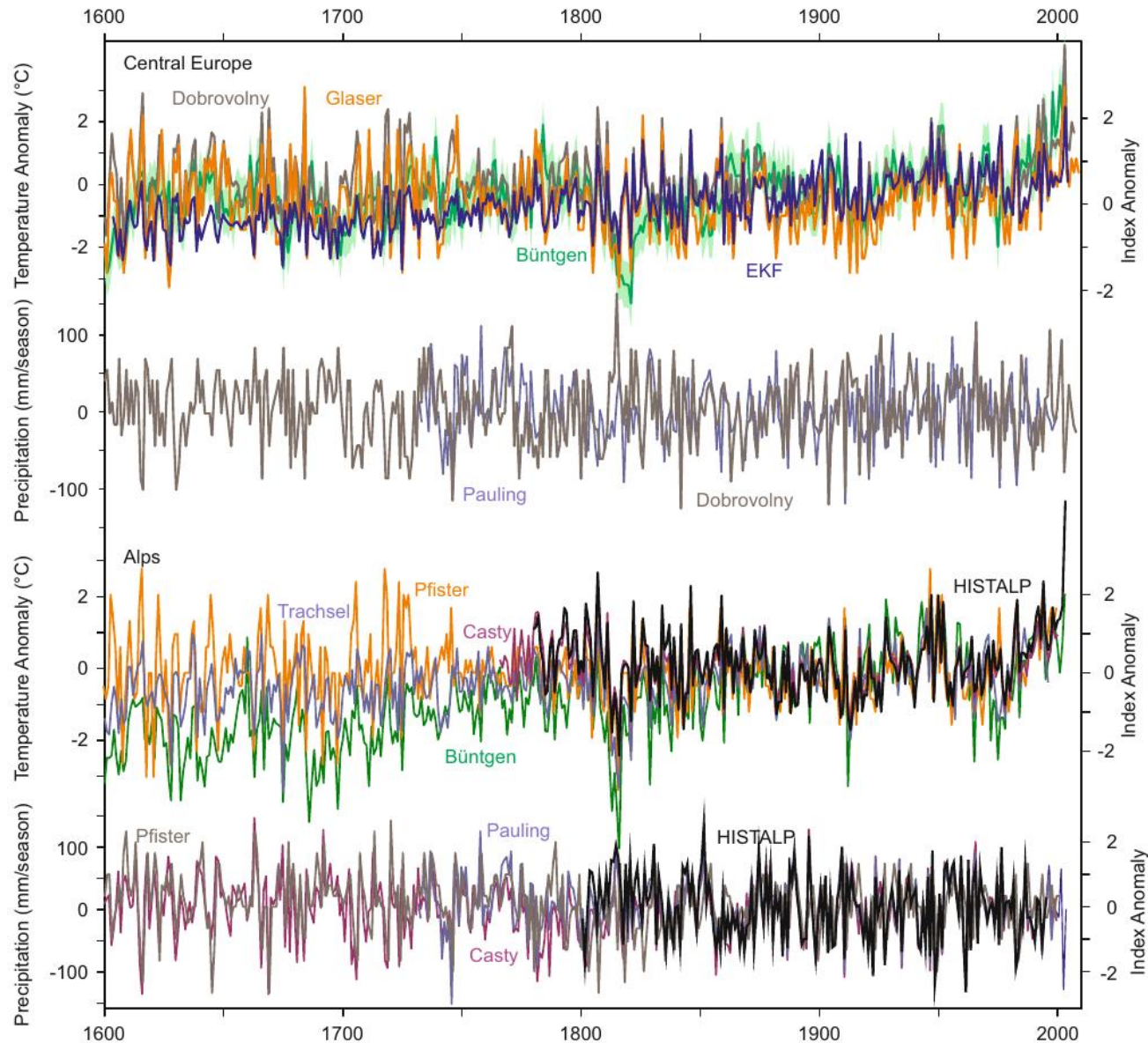
Temp.

Nieder-  
schläge

Alpen  
Sommer

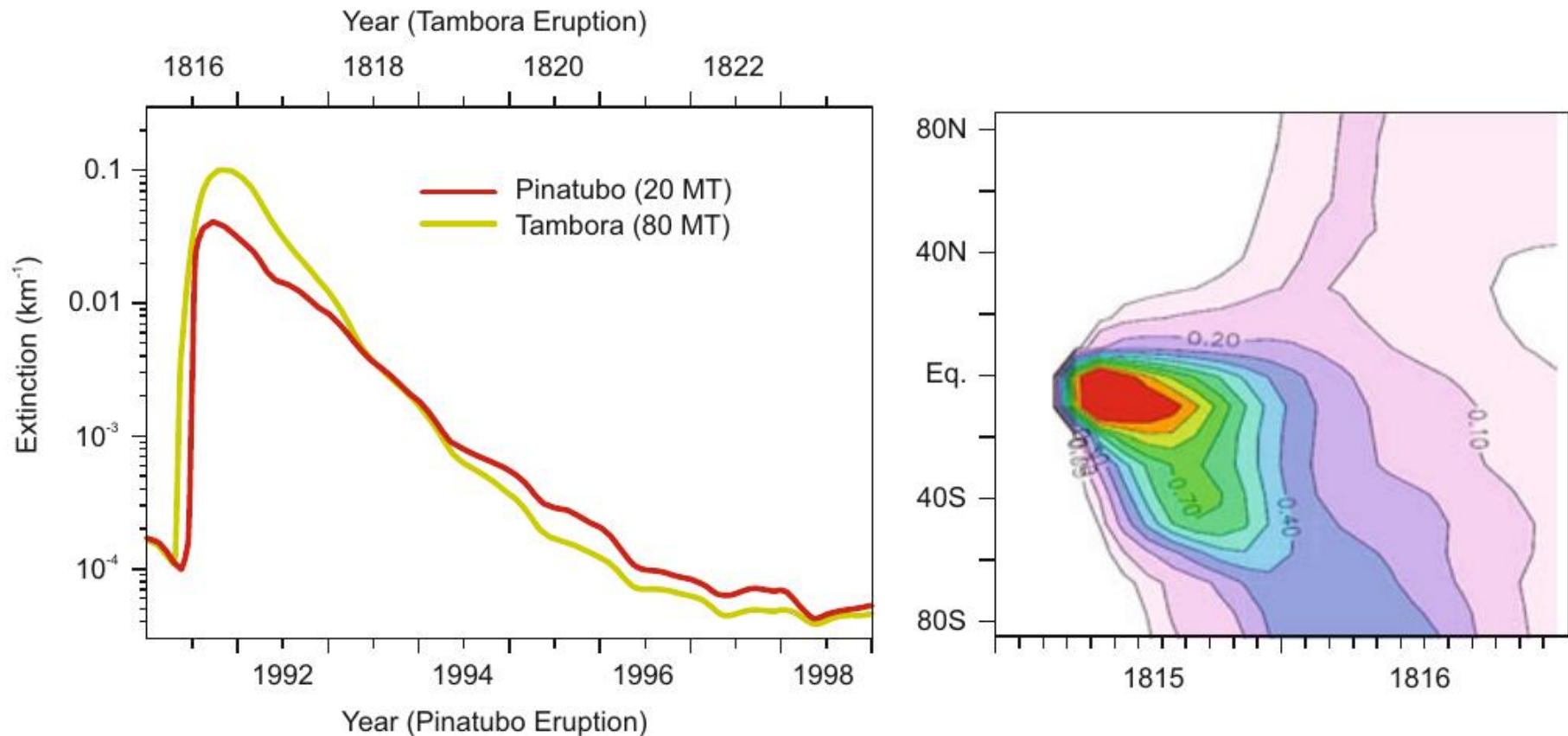
Temp.

Nieder-  
schläge



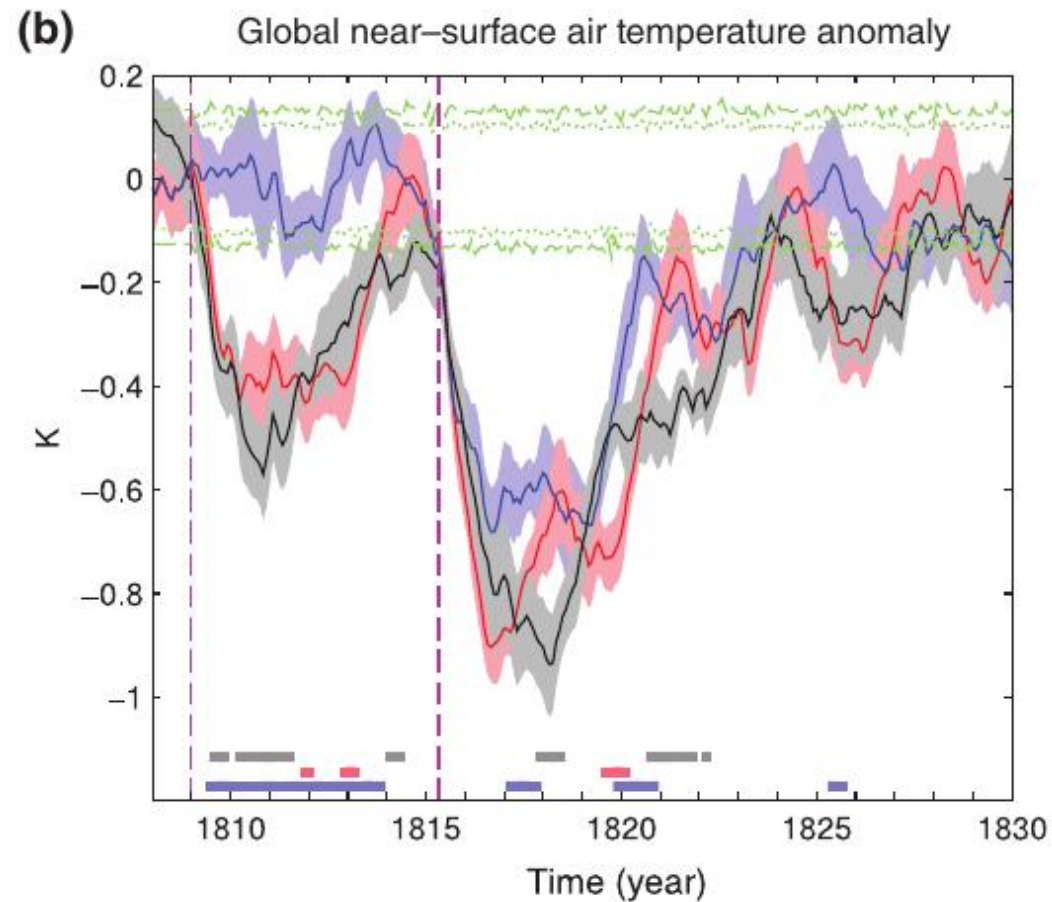
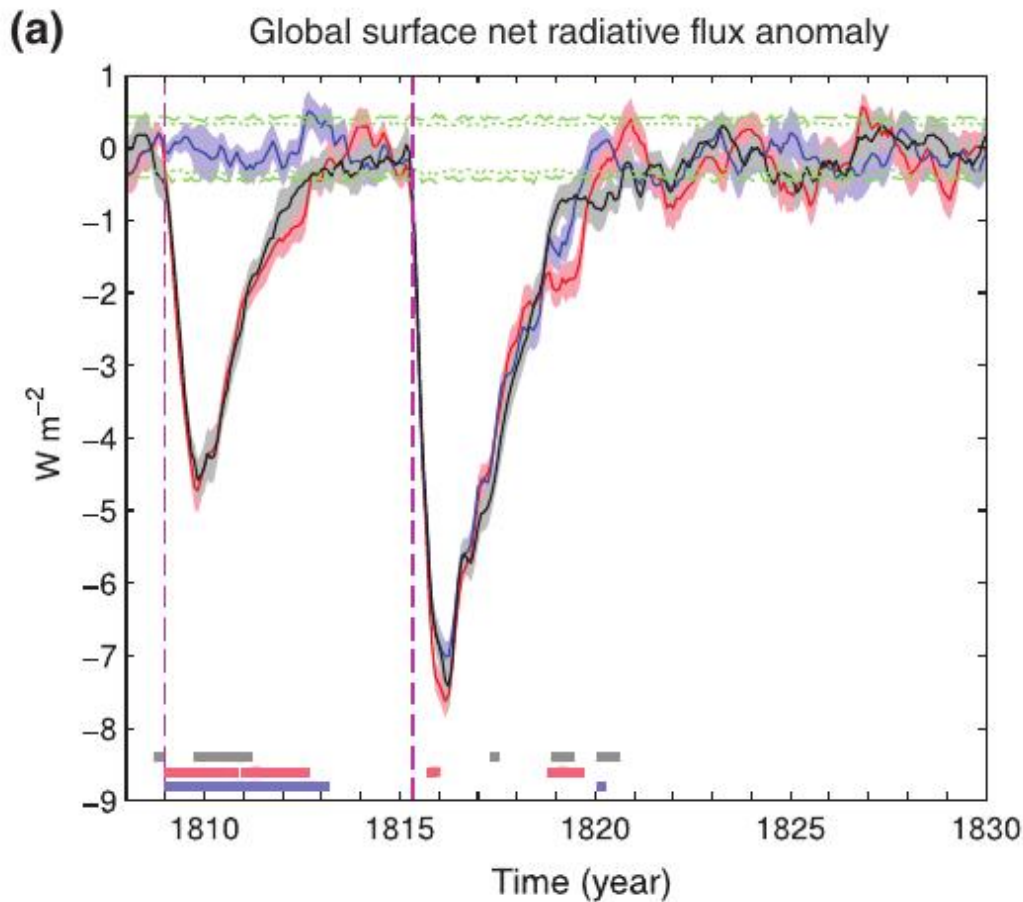


# Staubschleier



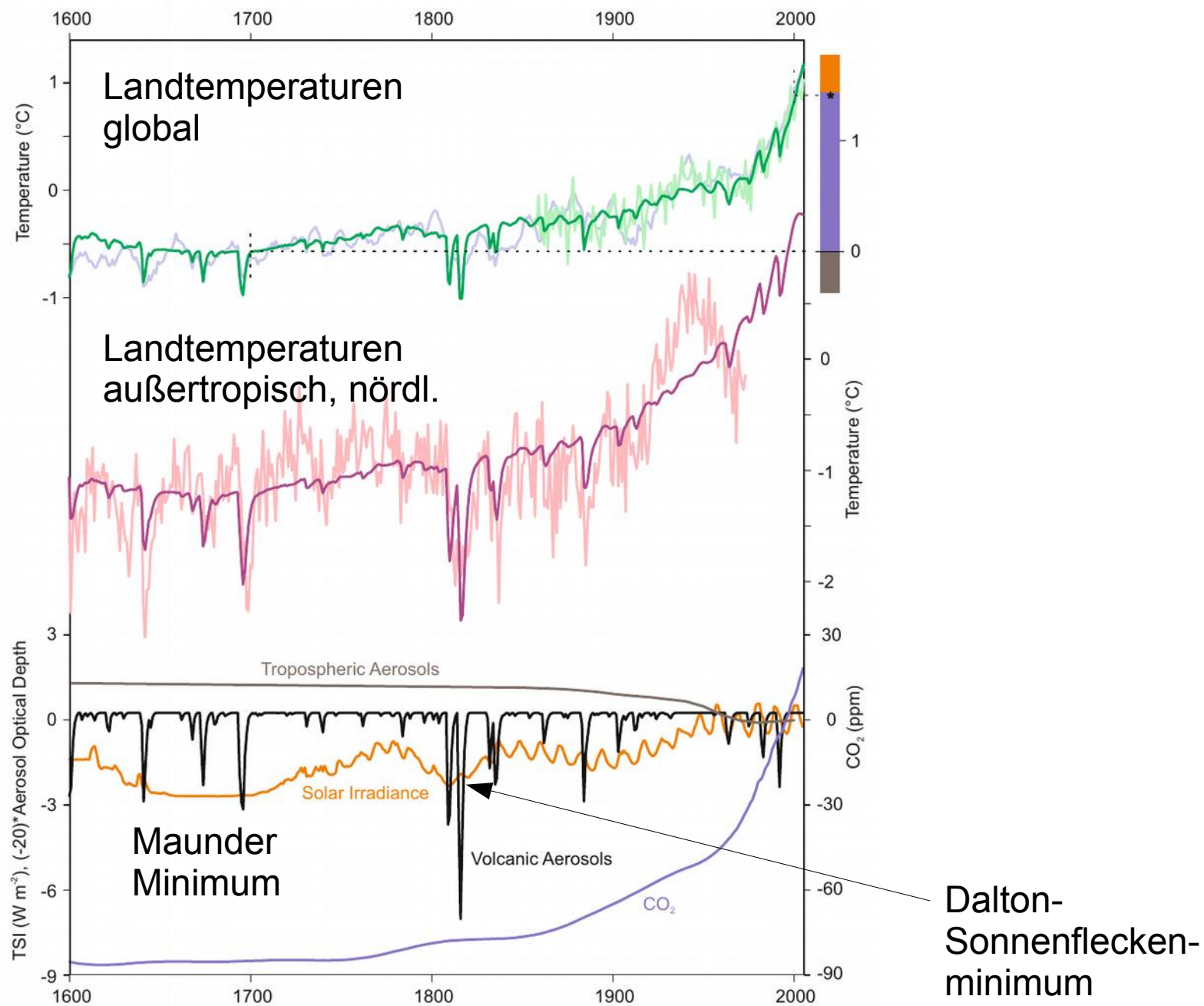
**Fig. 4.28** (left) Aerosol extinction ( $1.02 \mu\text{m}$ ) at 20-km altitude above the equator for the Tambora and Pinatubo eruptions. (right) Aerosol optical depth (500 nm) modelled for the Tambora eruption. These are obtained from a two-dimensional aerosols microphysics model, assuming a sulphur amount of 80 and 20 Mt for Tambora and Pinatubo, respectively (See Arfeuille et al. (2014) for details)

# Abkühlung durch stratosphärische Aerosole



Raible et al., Tambora 1815 as a Test Case for High Impact Volcanic Eruptions: Earth System Effects. Wiley Interdisciplinary Reviews: Climate Change 7, Nr. 4 (1. Juli 2016): 569–89.

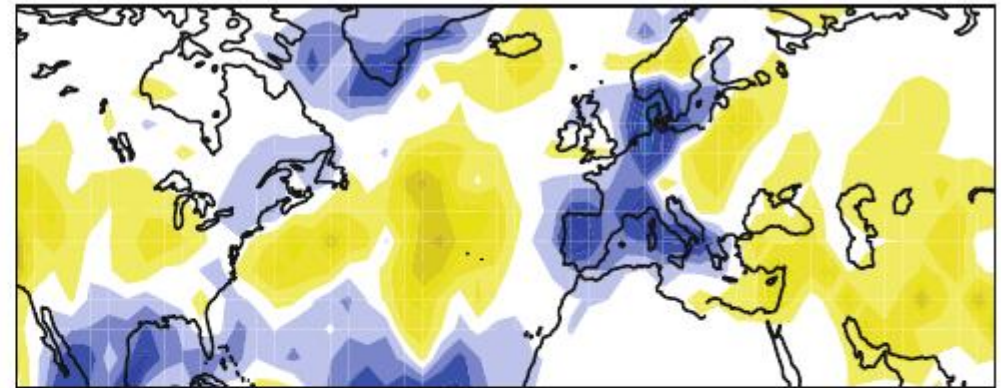
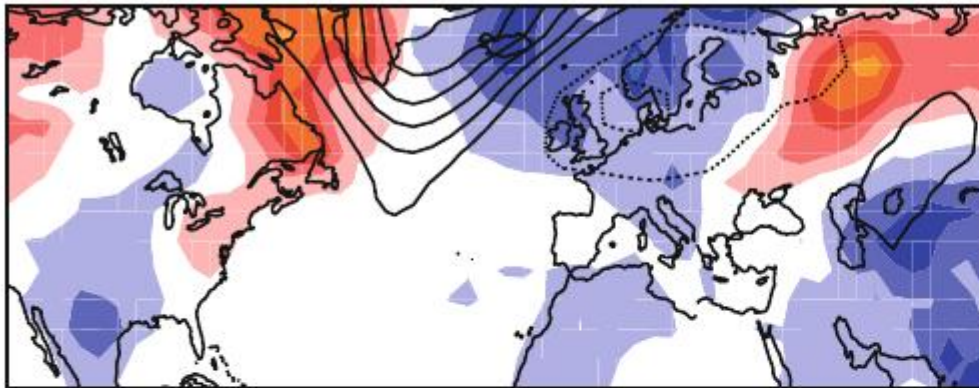
# Klima und Strahlungsantrieb



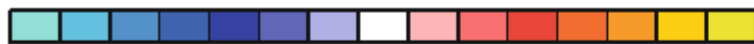
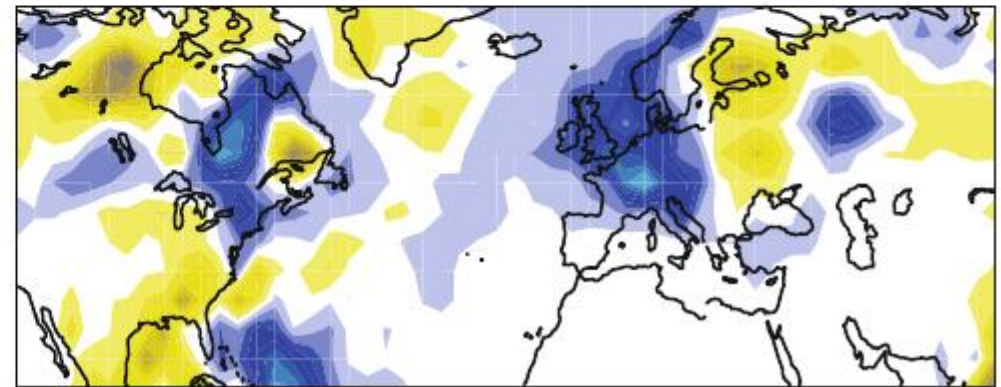
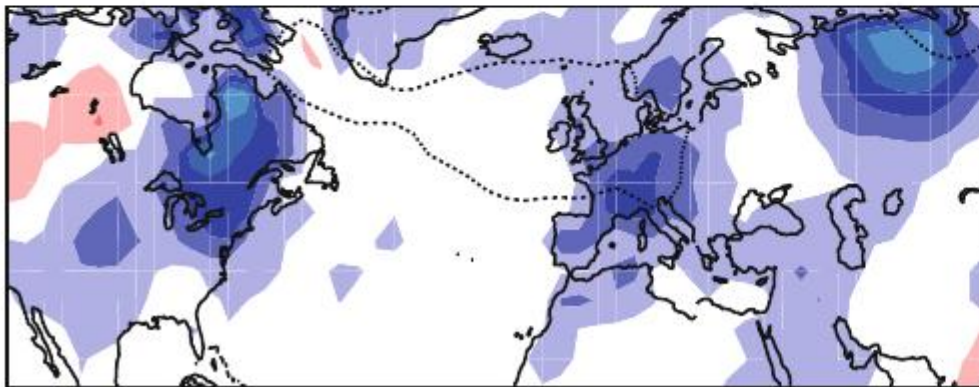
# Temperatur/Niederschlag 1816 relativ zu 1700-1899

EKF400 Ensemble Mean, December 1815 to February 1816

relativ zu 1700-1899



EKF400 Ensemble Mean, June to August 1816



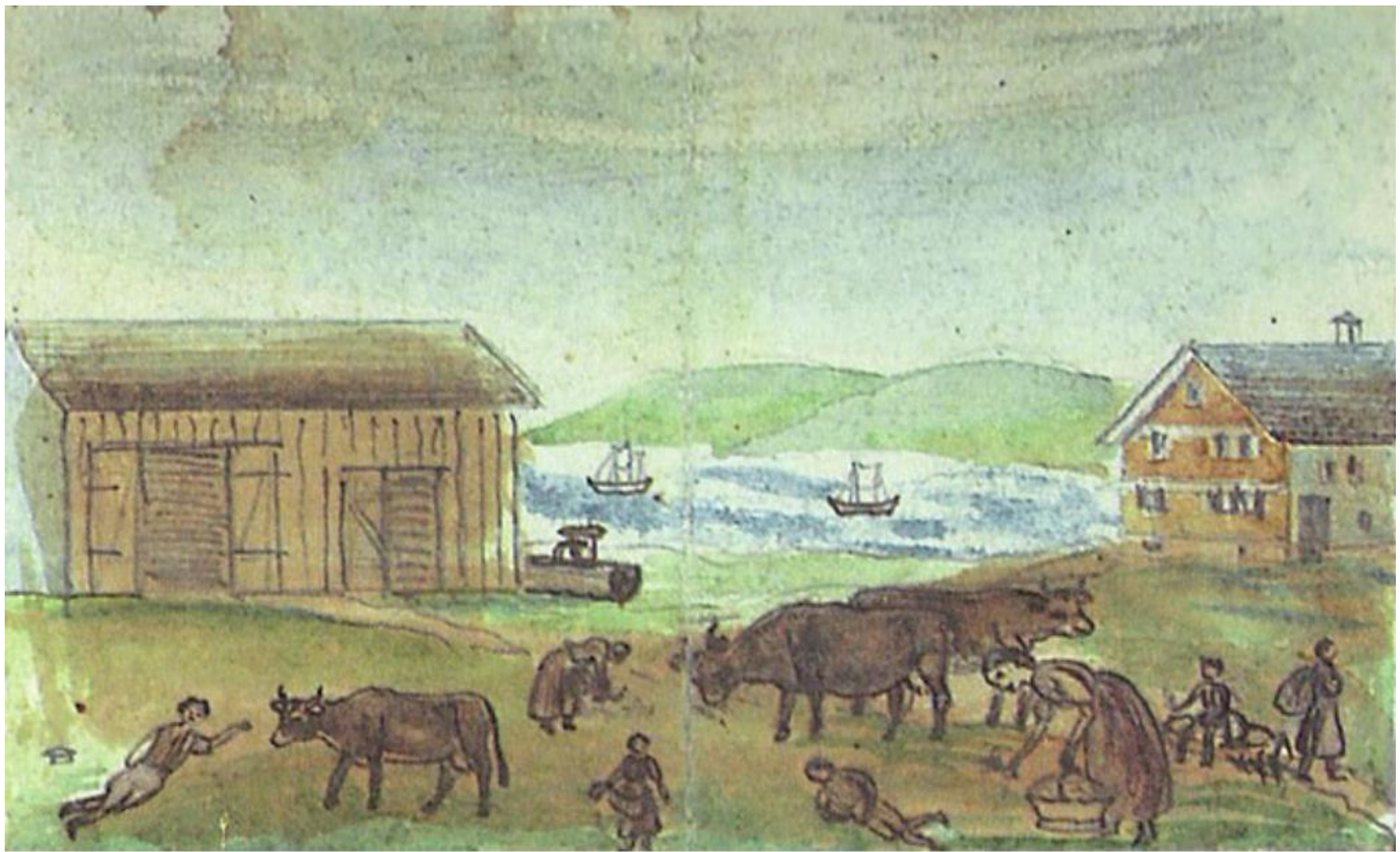
-2.7   -0.9   0.9   2.7

Temperature Anomaly (°C)



-30   -18   -6   6   18   30

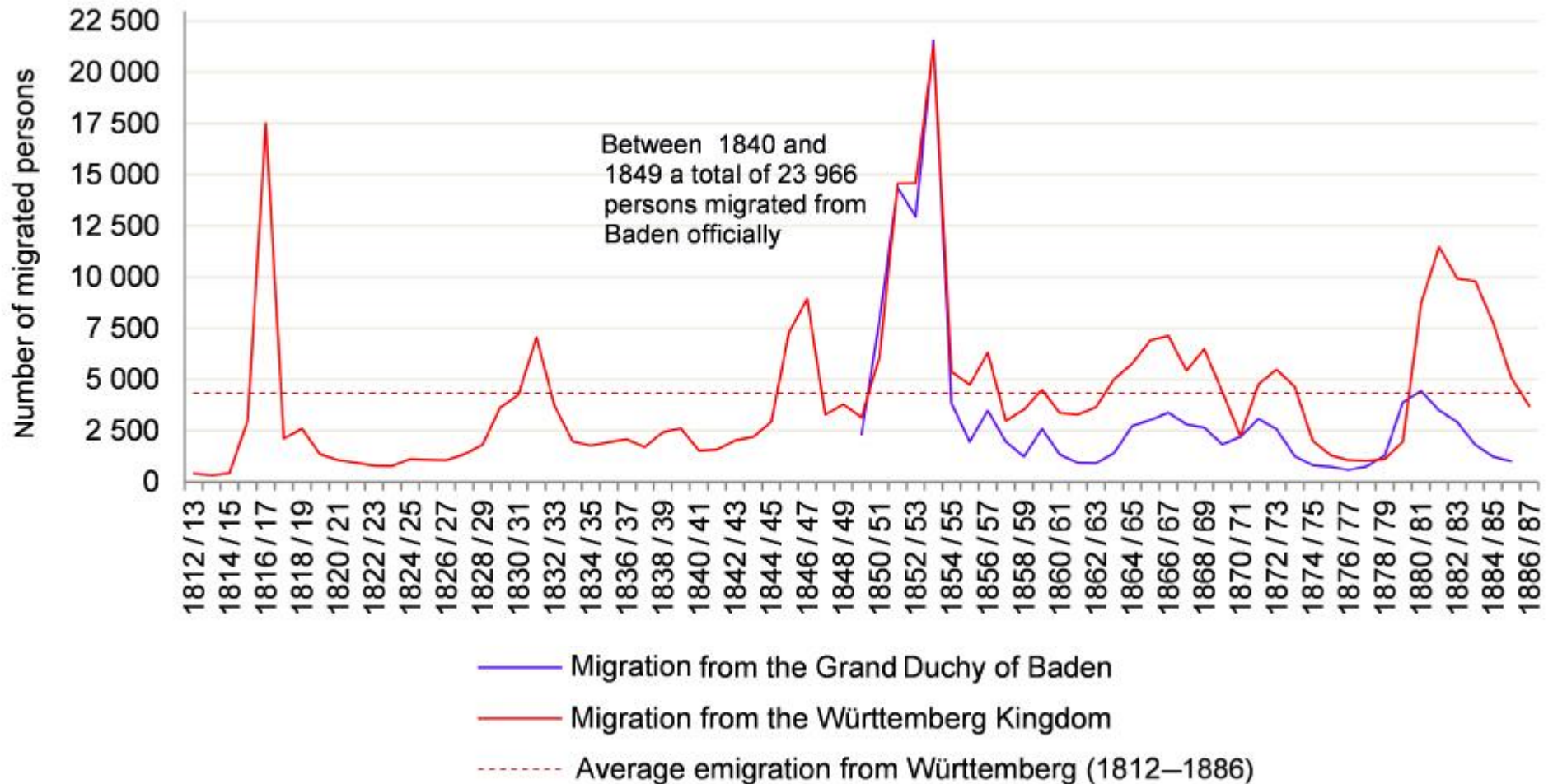
Precipitation Anomaly (mm/mon)



**Fig. 4.24** Painting from Anna Barbara Giezendanner (1831–1905), showing people eating grass during famine in Switzerland

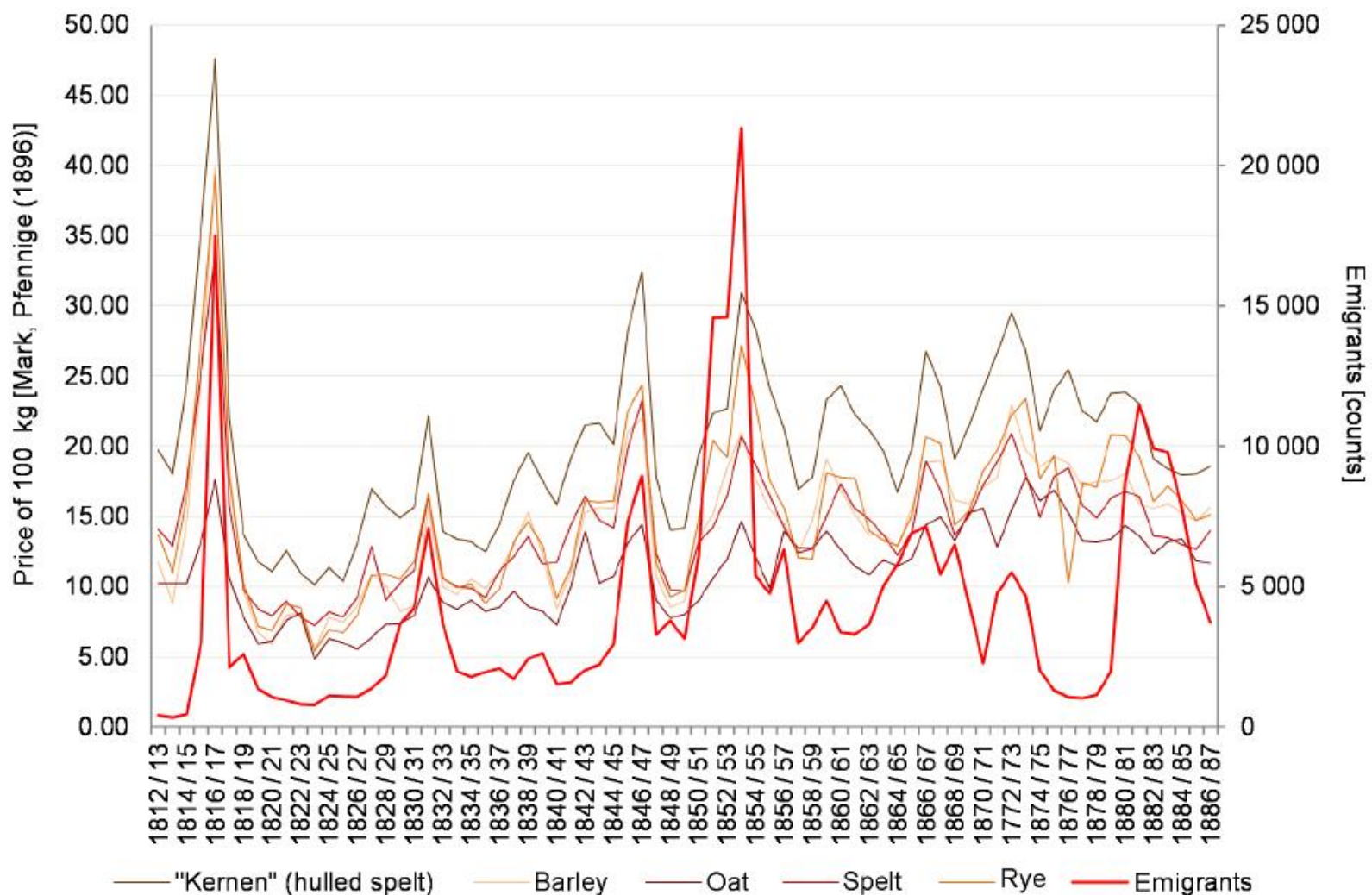
# Auswanderung aus Baden und Württemberg

Migration from Baden and Württemberg (official numbers 1812–1886)



# Getreidepreise und Auswanderung

Grain: year average prices [100 kg] in Württemberg vs. emigration (1812—1886)

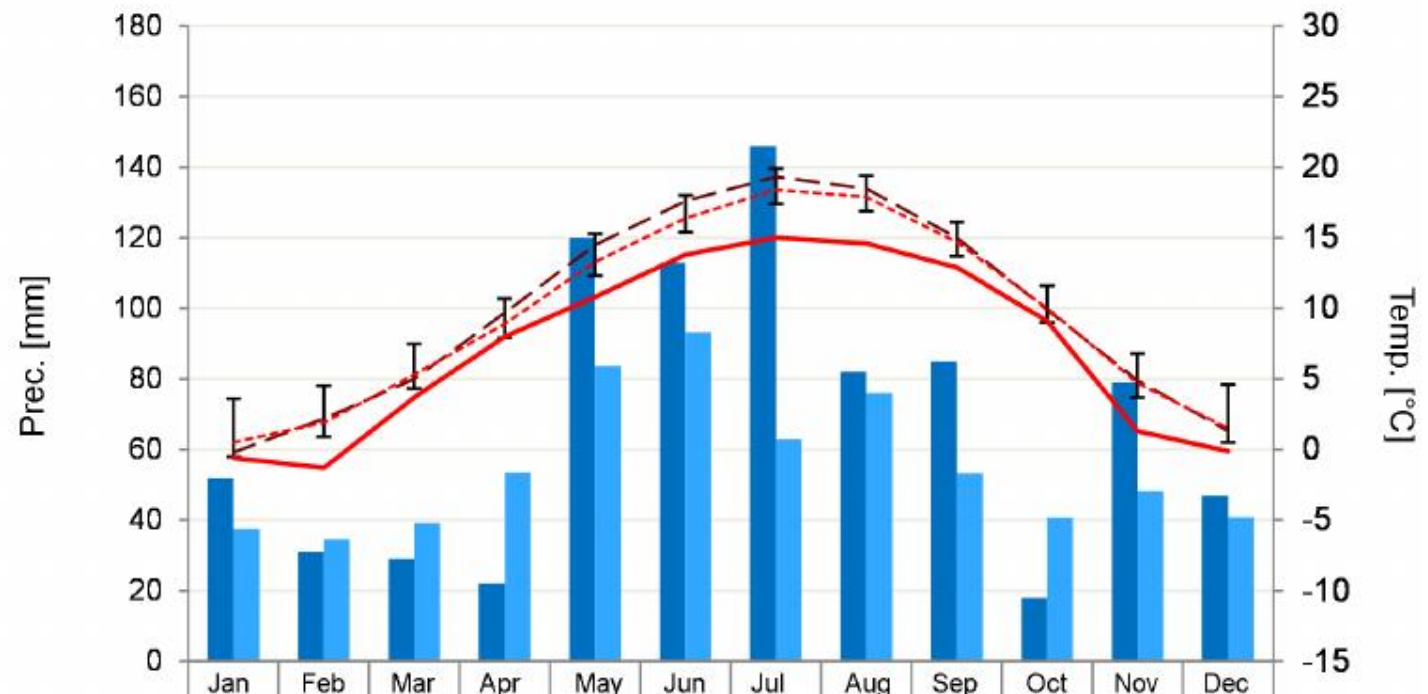


Source: WJB 1896

# Stuttgart, 1816

Kälteste Jahre  
in Stuttgart im  
19. Jh:  
1829: 7,83°C  
1879: 8,09°C  
1816: 8,10°C

Climate Stuttgart 1816 and CLINO period 1961–1990



■ 1816 prec. [mm]	52.0	31.0	29.0	22.0	120.0	113.0	146.0	82.0	85.0	18.0	79.0	47.0
■ 1961–1990 prec. [mm]	37.5	34.6	39.2	53.6	83.6	93.2	63.0	76.0	53.3	40.6	48.2	40.7
— 1816 temp. [°C]	-0.6	-1.3	3.7	8.0	10.8	13.8	15.0	14.6	12.9	9.1	1.3	-0.1
- - - Mean temp. [°C] (1804–1886)	-0.2	2.2	5.0	9.7	14.5	17.6	19.3	18.5	15.0	9.9	4.9	1.3
SD temp. [°C] (1804–1886)	3.1	2.6	2.2	1.8	2.0	1.6	1.5	1.5	1.4	1.6	2.1	3.1
⋯ 1961–1990 temp. [°C]	0.5	1.9	5.3	8.9	13.3	16.4	18.4	17.9	14.7	10.0	4.7	1.5

Data sources: 1815–1817: temp (KNMI), prec. (CRU); 1804–1886: KNMI and WJB; 1961–1990 (DWD)

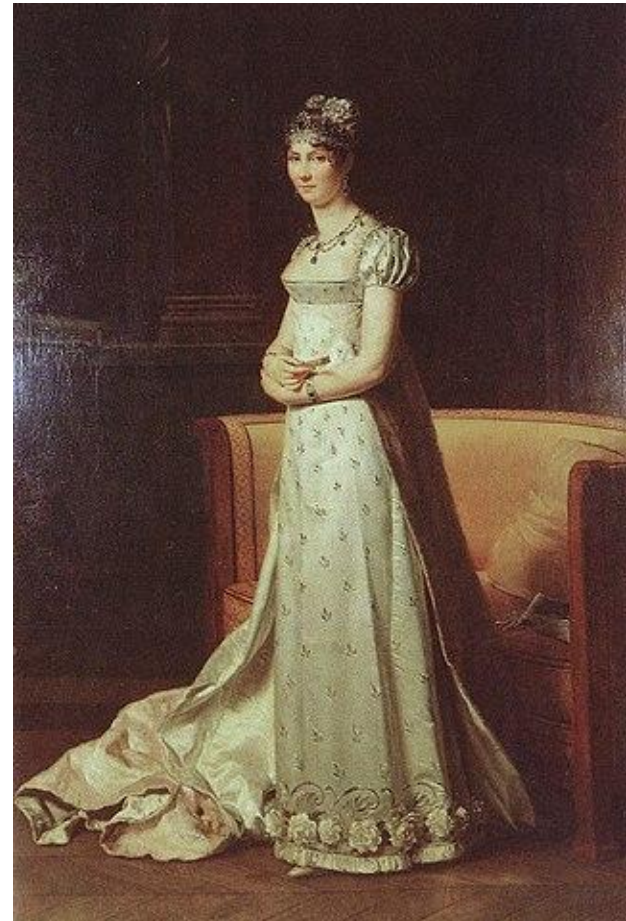


# Baden und Württemberg 1816

- Extreme Ernteaufschläge durch Witterung
- Napoleonische Kriege: Maraudierende Truppen, fehlende politische Strukturen
- Große Teile der Flächen seit Jahren nicht bewirtschaftet; letzte volle Ernte 1812
- Politik reagiert viel zu spät:
  - Regulierung von Ein- und Ausfuhr ab November
  - Ankauf von Getreide aus dem Ausland ab Oktober
  - Eis auf Flüssen behindert Transport
  - Verschuldung der Gemeinden

# Hilfsvereine

- z.B. März 2017  
Allgemeiner  
Wohltätigkeitsverein  
für das  
Großherzogtum  
Baden zur  
Bewältigung der  
Auswirkungen des  
Krieges und der  
Mißernte



Stéphanie de Beauharnais  
Großherzogin von Baden

1816-17:  
"Jahr ohne Sommer"

1829-33:  
Schlechtwetter,  
Ernteaufälle,  
Spekulationen

1845-48:  
Heiße, trockene  
Sommer,  
Ernteaufälle,  
Kartoffelfäule

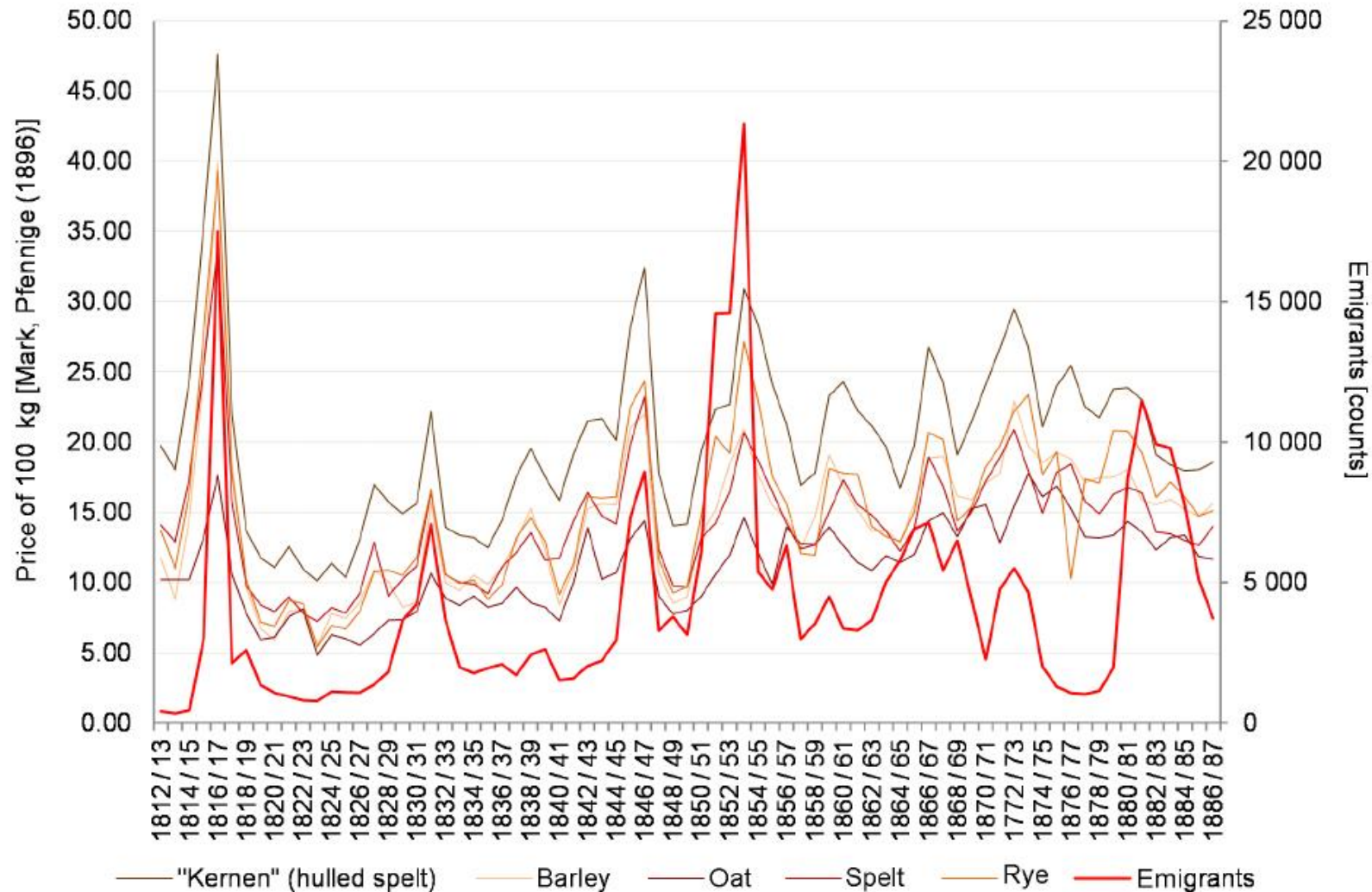
1850-55:  
Schlechte Ernten,  
Krimkrieg (Frankreich  
schafft Einfuhrzölle  
ab), staatliche  
Förderung der  
Auswanderung

1863-69:  
Warm, trocken

1880-86:  
Attraktivität der  
"Neuen Welt",  
Familiennachzug

# Auswanderung

Grain: year average prices [100 kg] in Württemberg vs. emigration (1812—1886)



Source: WJB 1896

Glaser et al. 2017



Tejedor et al., Rogation Ceremonies: Key to Understand Past Drought Variability in Northeastern Spain since 1650. *Climate of the Past*, 18. Juni 2018, 1–22.



Andenken auf Elba (Foto: Andrea Kamphuis 2018)

Home > Wissen > Vulkan Tambora beeinflusste Schlacht von Waterloo

24. August 2018, 12:24 Uhr **Napoleon**

## Entschied ein Vulkanausbruch die Schlacht von Waterloo?



Der Ausbruch des Tambora im Jahr 1815 tötete Zehntausende Menschen - und beeinflusste selbst im fernen Europa das Wetter. (Foto: AFP)



- Atmosphärenforscher vermuten einen Zusammenhang zwischen einem Vulkanausbruch in Indonesien und der Schlacht von Waterloo 1815.

Geschichte+Archäologie

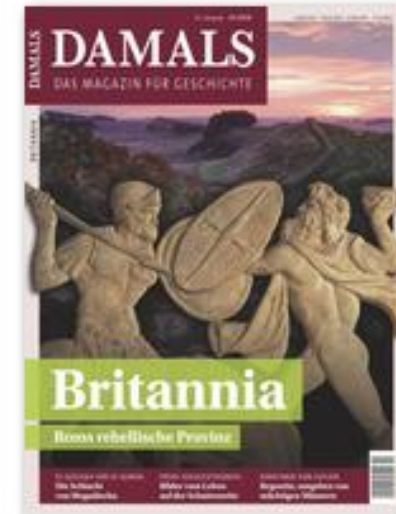
## Waterloo-Schlacht: War ein Vulkan beteiligt?

29. August 2018



Düstere Regenwolken bildeten die Kulisse der Schlacht bei Waterloo. (Stich, 1891, benoitb/iStock)

DAMALS | Aktuelles Heft



# Electrostatic levitation of volcanic ash into the ionosphere and its abrupt effect on climate

Matthew J. Genge<sup>1,2\*</sup>

<sup>1</sup>Impact and Astromaterials Research Centre (IARC), Department of Earth Science and Engineering, Imperial College London, Exhibition Road, London SW7 2AZ, UK

<sup>2</sup>Earth Sciences Department, The Natural History Museum, Cromwell Road, London SW7 2BW, UK

## ABSTRACT

Large volcanic eruptions cause short-term climate change owing to the convective rise of fine ash and aerosols into the stratosphere. Volcanic plumes are, however, also associated with large net electrical charges that can also influence the dynamics of their ash particles. Here I show that electrostatic levitation of ash from plumes with a net charge is capable of injecting volcanic particles <500 nm in diameter into the ionosphere in large eruptions lasting more than a few hours. Measured disturbances in the ionosphere during eruptions, and the first discovery of polar mesospheric clouds after the A.D. 1883 Krakatau (Indonesia) eruption, are both consistent with levitation of ash into the mesosphere. Supervolcano eruptions are likely to inject significant quantities of charged ash into the ionosphere, resulting in disturbance or collapse of the global electrical circuit on time scales of  $10^2$  s. Because atmospheric electrical potential moderates cloud formation, large eruptions may have abrupt effects on climate through radiative forcing. Average air temperature and precipitation records from the 1883 eruption of Krakatau are consistent with a sudden effect on climate.

## INTRODUCTION

Volcanic plumes are formed during explosive eruptions through convective rise of gas and tephra into the atmosphere, and can reach altitudes of 50 km within the stratosphere (Sparks

that can produce non-thermal forces and affect the rise of charged ash particles.

Measurements of potential gradient anomalies in the ambient electric field associated with explosive eruptions suggest that volcanic plumes

are, therefore, effective generators and separators of electrical charge.

## ELECTROSTATIC LEVITATION

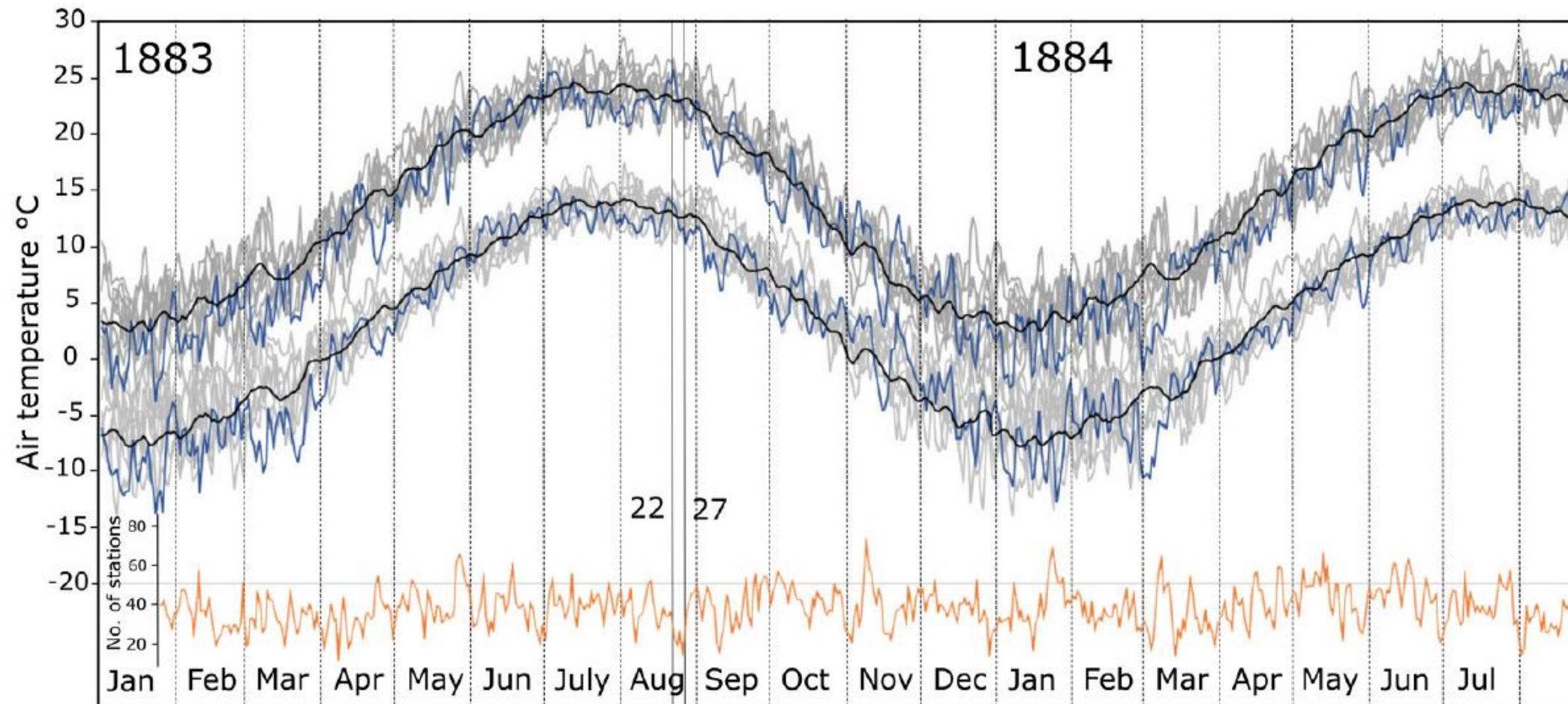
Electrostatic levitation is a process that causes lofting of charged particles within an electrical field and is important on atmosphere-less bodies such as the Moon (Colwell et al., 2009) and asteroids (Lee, 1996). Electrostatic interaction between charged volcanic ash particles and plumes having a net charge of the same polarity will unavoidably cause levitation of particles.

The migration of volcanic ash liberated from the upper regions of a large plume was evaluated using a model of particle motion under the influence of electrostatic forces and atmospheric gas drag (see the methods in the GSA Data Repository<sup>1</sup>). The cloud of liberated ash was assumed to be sufficiently tenuous that interactions between particles could be ignored



# Krakatau 1883

## Kurzfristige Auswirkungen?



# Napoleon und der Vulkan

Few reliable weather data by which the effects of electrostatic levitation can be evaluated are available for the larger VEI 7 eruption of Tambora (Indonesia; Raible et al., 2016) in 1815. The months of May and June 1815, however, were notably wet in Europe (Wheeler and Demarée, 2006), following the end of the eruption in late April. The unseasonal weather in Europe, however, cannot be related to sulfate aerosols from the Tambora eruption, which did not reach the region until early 1816 (Clausen and Hammer, 1988), but it could be explained by suppression and subsequent recovery of cloud formation owing to levitation of volcanic ash. The wet weather in Europe has, furthermore, been noted by historians as a contributing factor in the defeat of Napoleon Bonaparte at the Battle of Waterloo (Wheeler and Demarée, 2006).

# Napoleon und der Vulkan vorläufige Einschätzung

- Möglicher, aber sehr spekulativer Mechanismus (elektrostatische Levitation von Staub stört Ionosphärenströme und damit das Wetter)
- Daten nur vom Krakatau (1883), nicht vom Tambora (1815)
- Effekt (bei Krakatau) noch nicht sehr überzeugend belegt
- Verbindung zu Waterloo wurde in den populären Artikeln überbetont; militärhistorische Faktoren dabei teils zu wenig gewürdigt.

# Zusammenfassung: Tambora & Jahr ohne Sommer

- Ausbruch des Tambora 11 April 1815  
Vulkan-Explosivitäts-Index (VEI) 7
- ca 71.000 Todesopfer in Indonesien  
tödlichster dokumentierter Ausbruch
- Aerosole verbreiten sich weltweit in der  
Stratosphäre
- Kalter, regenreicher Sommer 1816 in Europa
- Letzte Subsistenzkrise Mitteleuropas
- Gesellschaftliche Folgen mit denen der  
Napoleonischen Kriege verwoben